

鋼材 용접부의 확산성 수소의 離析에
關한 研究

A Study on the Behavior of the
Diffusible Hydrogen in the Steel Weld.



지도교수 金永植

金守祚 全成彬

目 次

1. 序論
2. 熔接部의 水素의 溶解
3. 水素 誘起 過程 發生 機構
4. 熔接部 水素 誘起 破壞의 特征
5. 擴散性 水素의 觀察 裝置
6. 熔接條件에 따른 水素挾帶
7. 結論

金屬材 용접부의 확산성 水素의 奎勸

1. 서론

온갖 선박, 고장, 각종 저洼形 탱크, 건축 등의 대형 구조물은 용접 공법에 의해構築되고 있는 것은 주제의 사실이다. 이것은 용접공법의 경우 經濟性, 重量輕減, 構造物의 크기에 제한을 받지 않는 등 他工法에 비해 有利한 長處를 갖기 때문이다.

그러나 용접부는 그것이 매우 복잡한 熱履歴 현상으로 인해 异形, 전류유역은 誘發하여, 同時에 大容積部 脆化, 또는 구조 현상이 빛장하여 구조물의 信賴性 및 安全性 確保가 어려운 편으로 지적되고 있다. 이러한 문제점은 구조물의 사용주기가 가속화되고 以前보다 높은 強度의 高張力 鋼材가 出現함에 따라 더욱 중요한 문제점으로 부각되고 있다.

용접부에서 發生되는 것은는 발생 온도에 따라 高溫破裂(Hot cracking): 용접시 용접 힘에 충반하여 일어나는 천열)과 低溫破裂 또는 冷間破裂(cold cracking: 용접후의 M_h 또는 약 300°C 이하에서 일어나는 천열)로 분류 할 수 있으나 一般構造用 암면 鋼材의 경우 대부분 低溫破裂이 문제될 되고 있다."

용접 아음부에서 발생하는 용접 자본 천열은 그 발생 장소, 時期 形狀이 多樣하지만, 1 本質上 용접시 용접부에 초입되는 扩散性 水素가 關係하는 자연파괴(Delaged cracking) 현상으로 알려져 있다"¹⁹⁴⁴" 따라서 용접시 확산성 수치의 개선은 상술한 용접 구조물의 信賴性 문제에 가장重要な 要因으로 작용한다고 볼 수 있다.

本研究에서는 이러한 扩散性 水素에 대하여 이것이 용접부 속
상의 物理 現象을 考察하고, 水素捕集 装置를 制作하여 용접 금속의
扩散性 水素挙動을 実驗적으로 觀察함으로써 熔接時 水素의 용접부로의
회입 및 扩散挙動을 研究하였다.

2. 용접부로의 水素의 溶解

용접 금속에 供給되는 水素源, 即 아크 분위기 중에서 발생하는 水
素의 原으로서는 (1) 피복제 중의 有機物, (2) 피복제 중의 一元 離子 結
晶水를 포함한 粉, (3) 피복제 중의 硫酸銨削(을 유리)가 갖는 水分, (4)
피복제에 혼자 있는 鹽水 水分 및 油脂類, 및 (5) 금속 중의 水分 등이다.

이와같이 용접 때의 水素源의 大部分은 水分이며, 이것이 아크 분
위기 중에 들어서면, 高溫 때문에 一部分이 解離하여 原子狀의 水素로
되어, 용접 금속에 溶解한다.

용접 鋼中에 溶解되는 水素의 농도[H]는 다음과 같은 Sievert 法
則에 따름다.⁵⁾

$$[H] = K_H \sqrt{P_{H_2}}$$

여서 K_H : 反應의 平衡 상수

P_{H_2} : 氣相中の 水素의 分压

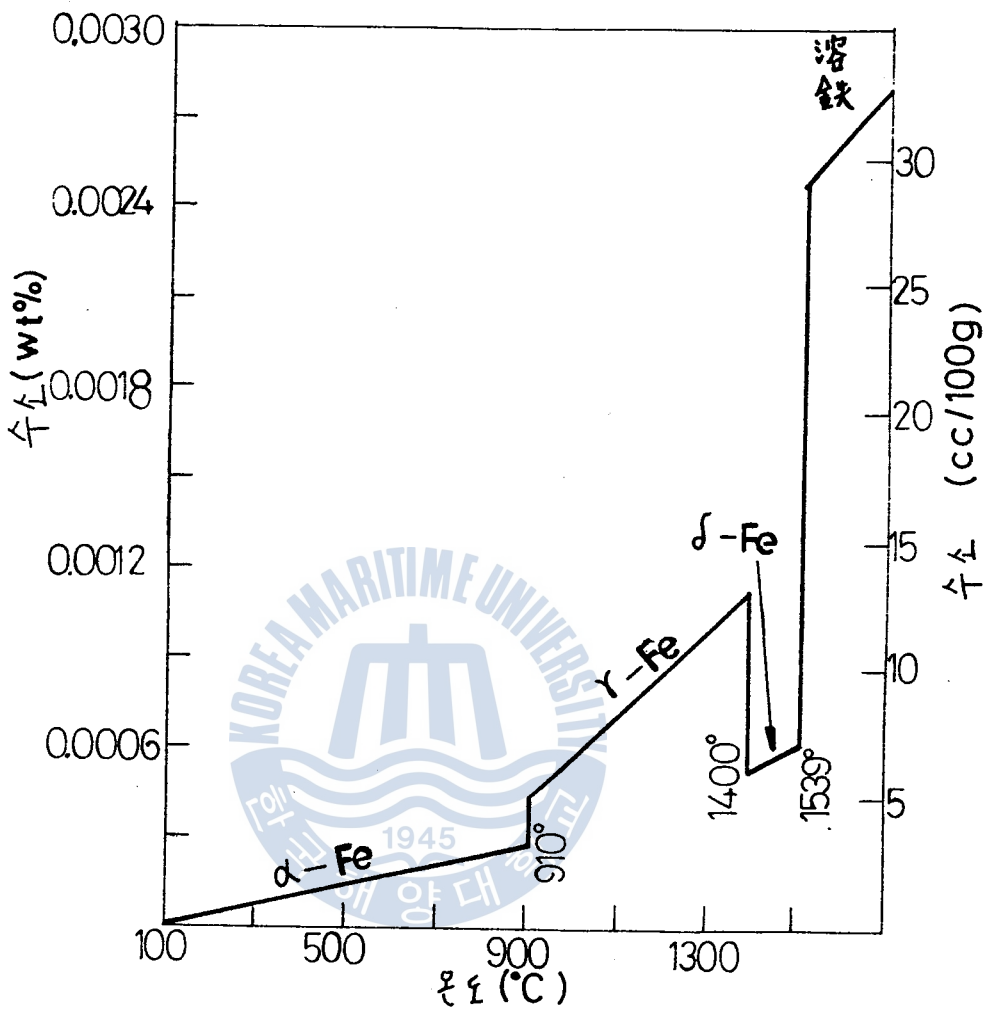
即 溶融鐵中の 水素의 含有量은 氣相中の 水素分压의 平方根에
比例한다. 24으로 氣相의 水素分压이 1개압, 온화 1600°C 일 때
純 鋼中에는 0.0025% ($28cc/100g$) 의 水素가 溶解한다. Fig 1

은 液相、固相에서 鋼의 溫度의 上昇과 一起에 增加하고 있다. 이것은
鈷에서 水素가 용해하기 위해서는 水素(吸熱反應)가 必要함으
로 溫度가 上昇할 수록 용해가 容易하게 되어온다. 또한 1cm에서 2
는 바와 같이 용해도는 融點에서 쿠仑을 부가 했으며, 용해 속도의
溫度가 낮아져 끓고 끓을 때에 용해도는 很低하여 감소한다. 또한 鋼에서
도 출연속부가 存在하여 鋼은 α鐵, δ鐵보다도 多量의 水素
를 용해한다. 이 용해도는 鋼種에 따라 다르며, 또한 格子欠陷
의 多少에 關係하는 冷間加工度에 따라서도 상당히 크게 변화
한다.

水素는 대개 기체 즉 氣体나 液體와는 달리 鋼中에 용해하여도
鐵과의 水素化物는 만들지 않고 거의가 鐵原子의 結晶格子
간격에 침입型 원자로서 存在한다. 또한 수소원자는 鐵원자에 비
하여 그 크기가 매우 작기 때문에 (Fe原子: 약 1.25Å, H原子: 약 0.46Å),
비교적 자유스럽게 格子間을 扰散하는 할 수가 있다.

水素의 鋼中에 있어서의 扰散度는, 鋼中の C量이 增加함
에 따라 또한 鋼의 冷間加工을 낮으면 減少한다.

이것은 格子간격에侵入하여 固溶되어 있는 C原子나 加工에 依해
생긴 格子欠陷이 水素의 扰散을 방해하기 때문인 것으로 생각되고
있다. “한 鋼中の 水素의 扰散速度는 Fig. 2.에 보이는 바와 같이
變化한다.” Fig. 2에 依하면 예를 들면 600°C의 온도에서는 Fe-
mrite 鋼中の 扰散速度는 Austenite 鋼보다도 10倍이나 빠르다.
이것은 Austenite는 面心立方格子로, 原子間隔이 체점입방정자와



H₂의 용해도는 대략 1000°C에서 수증기의 밀도와 같은 정도로 성장하는 듯.

수증기 용해도는 Fig.1에서 보이는 바와 같이凝聚直後の 증상태의 약 1%로 계산된다. 이 때문에 분해되는 모든 수증기는 증상태의 증과 함께 확산되는 대부분으로 분산된다.

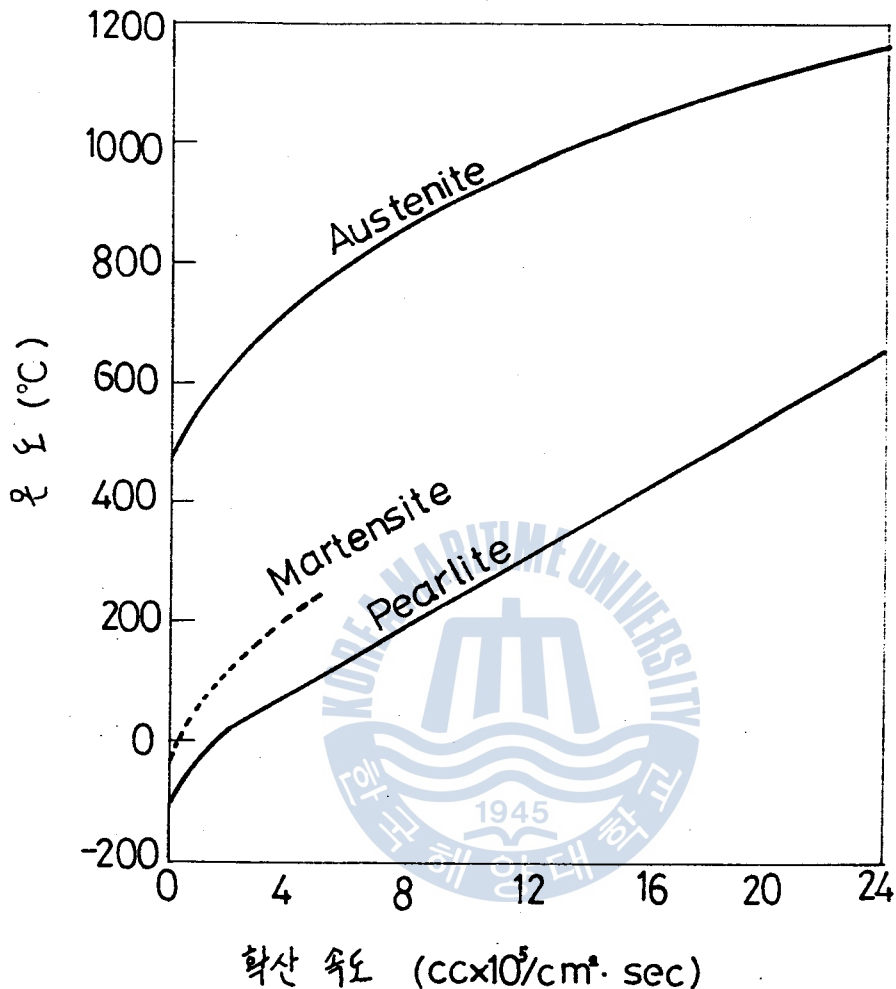


Fig.2 강화의 水素의 확산 속도

그리고 이라고 끊임없이 冷却속도는 매우 빨라서 원래 1000°C 가량
냉각하는데 要하는 時間은 몇과 數秒정도로 지나지 않는다. 더욱이
이 温度에서의 鋼은 주로 扶椎으로 上述한 바와 같이 扶椎中에서
의 扩散속도는 높다. 따라서 800~1000°C 정도의 温度에서 相當한
물의 水素가 残留된다. 더욱 온도가 떨어지면 扶椎→扶椎의 相交

能가 이어 진다. 以上에 있는 水素의 용해도는 800°C에서의 약 50%로 감소하여, 抗散度는 증가한다. 따라서 水素는 용접점속으로 부터 방출된다. 이 때문에 水素放出量은 500°C ~ 400°C 난대에서의 冷却속도에 따라 크게 영향을 받는다. 冷却속도가 빠르면, 거의 모든 水素가 外部로 放出되어 버린다. 따라서 水素量을 작게 하기 爲하는 冷却속도를 느리게 하는 것이 필요하게 된다.

3. 水素 誘起現象 發生 機構

鐵 및 鋼의 結晶格子內에 용해된 原子狀 水素는 格子 사이를 자유롭게 扩散能 있는 空孔, 미스친, 非金屬介在物의 주변 등 내적 큰 空隙이나 应力集中部의 外적 空洞 되어 있는 格子 간격으로 扩散되어 이웃에서 分子狀 水素로 된다. 수소 원자가 이러한 領域에 유선효으로 흡수되는 球由는 侵入位置에 存在하는 것 같다. 이러한 領域에 存在하는 것이 아니지 않으나 더욱 안정된 상태가 되기 때문이다.

이상과 같이 分子狀으로 集結된 水素는 非抗散狀으로 되어 이 압력에서 내부 응력을增加시켜 Fig. 3에 보듯 바와 같이 수소간 결을 誘起한다.³⁾ 鋼이 侵入水素를 吸收하고 있다고 해서 반드시 그 결이 발생하는 것은 아니다. 鋼이 侵入水素가 存在한 경우 대부분 脱化되지만, 上述한 결은 残留 응력, 即는 残留應力이 存在한 경우만 발생하게 된다. 以上과 같은 發生構로 因래一般的

으로 수소 초기 퀸열은 發生까지 一定한 潛伏期間이 필요한 지연
균열 (Delayed cracking) 形態를 取하여 低撓率動 또한 간접적
이고 불연속적인 韌動을 나타낸다.

水素 請起 균열에 있어 지연시간 (Delayed time)은 应力과
거의 關係가 없으며 鋼中에 수소농도 증가, 경도 및 인장강도
증가 등이 따라서 증가한다. 鋼中에 수소농도가 낮은 경우에는 응
력이 加해진 후 막힘이 지연후에 균열이 발생하게 된다.

아무리 시간이 지나더라도 지연균열이 발생하지 않게 되는 임계最小
应力는 鋼의 수소농도가 增加할 수록 감소한다. Fig 4는 SAE
4340 鋼을 H_2SO_4 용액에서 온도 복수시켜 수소를 吸藏시킨 다음
靜的荷重을 加했을 때의 지연균열 시간 (Delayed cracking time)
을 나타낸 것이다. 수소농도는 加熱에 依해서 여러가지 방으로 감소했다
이 그림에 依하면 僵入水素농도가 낮아질수록 파괴까지의 지연시간이 길
어지고 있음을 잘 나타내고 있다.

4. 熔接部 水素 請起 破壞의 특징

熔接部의 水素 請起 破壞의 進展韌動은 Fig 5와 같은 clip gauge를
利用하면 把握할 수 있다. Fig 5의 根部에서 뿐만 아니라 품(Welding
Groove) 속에 拘束狀態로 因해 应力集中 현상이 발생한다. 이로인 应力
集巾部에前述한 抗散性 水素의 集合이 일어나고 이로 因해 균열이
발생되어 전파가 시작된다.

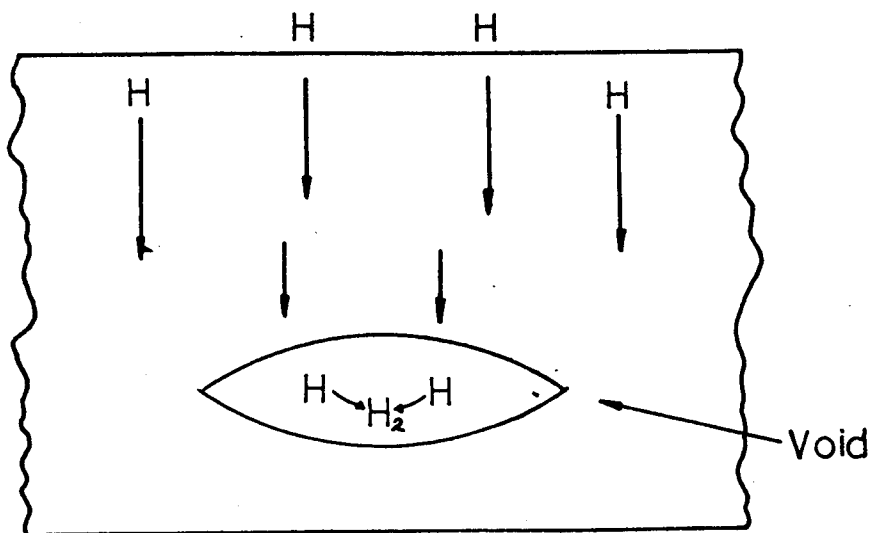


Fig.3 수소분열의 발생기구. 수소원자가
급속격자로 확산해 가서 수소분자가 생성된다.
수소분자는 확산이 불가능하여 그 결과 내부응
력을 증가시키게 된다.

이와같이 해서 출발된 용접부 水素侵襲의 巨視的 模樣相을 Fig.6
에 보인다. Root 低部로 부터 水素誘起 低溫侵蝕이 發生하여 伝播
하면 Root 간격에 变位가 생기게 되므로 이 变位를 clip gauge를 通
하여 Recorder에 연속적으로 記録되도록 함으로써 균열의 發生時期 및 伝播 상황이 把握된다.

Fig.7은 비스와 管的 方法으로 Root部의 간격의 变化를 測定하
여 記録한 것이다. 이에 依하면 용접후 약 15분 정도의 時間이
지나기 까지는 별다른 变化를 보이지 않으나 그 이후에는 突起部가
간헐적으로 보이고 있다.

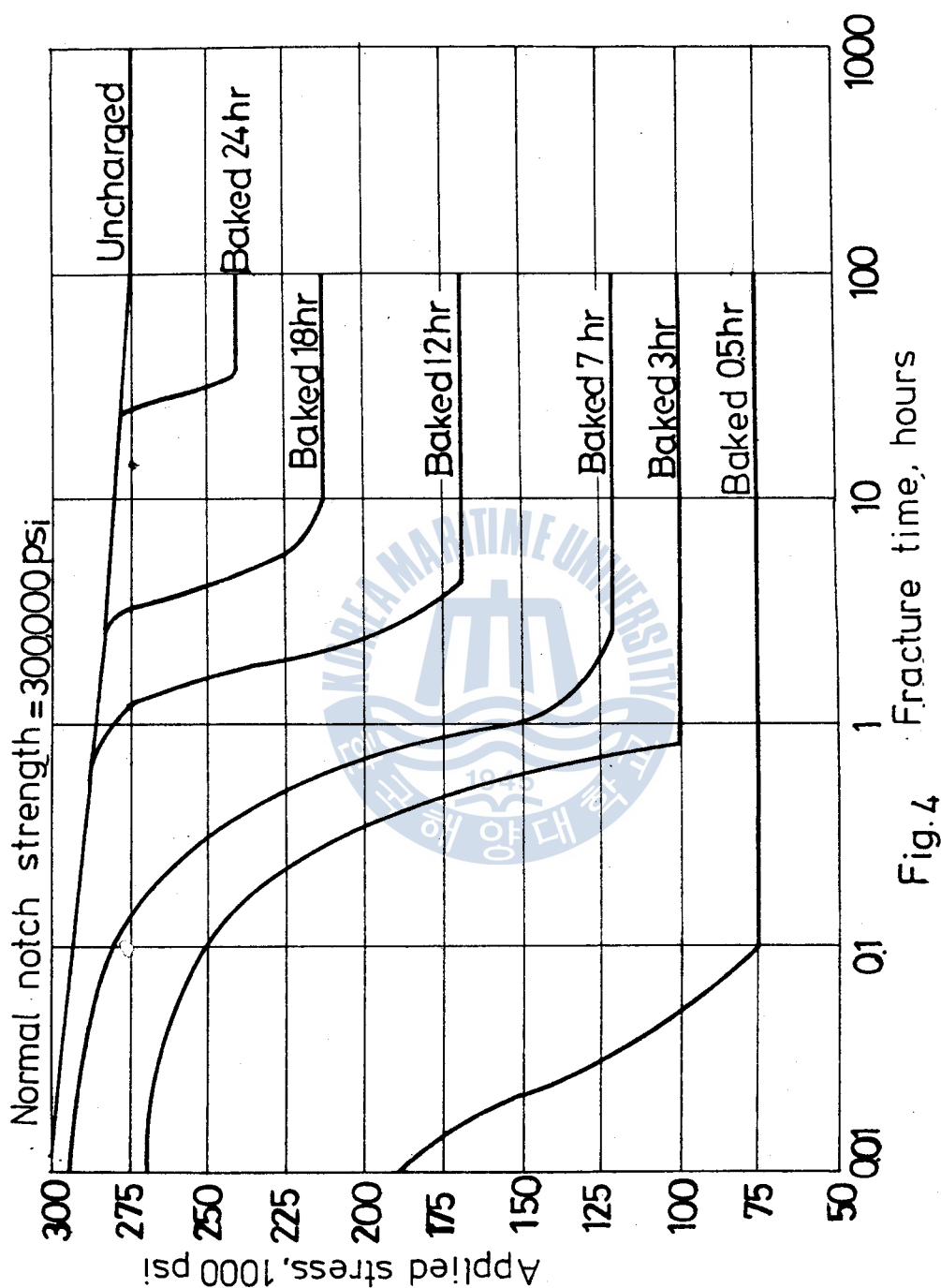


Fig. 4

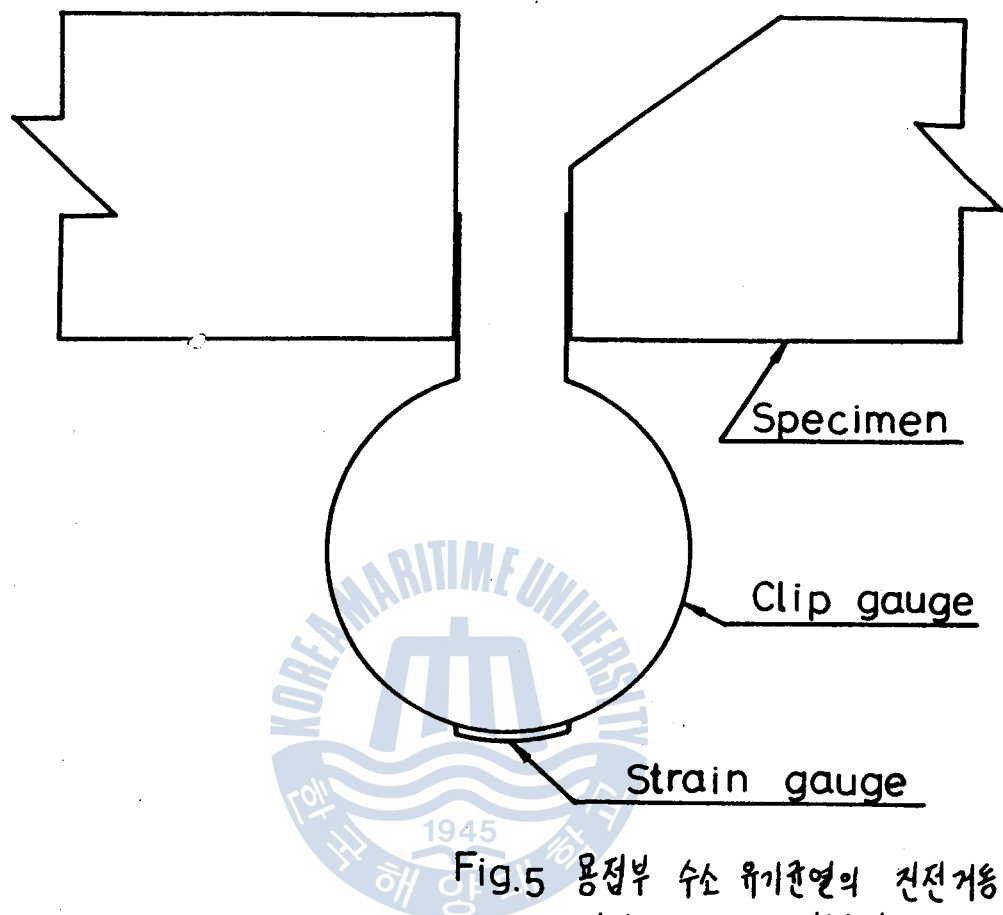


Fig.5 용접부 수소 유기균열의 진전거동을
파악하기 위한 실험장치

以上과 같은 현상은 熔接時 원인 挥散性 水素가 Root部의應力集中領域에 集結하기까지 暫시로 결합에 때문에 전류 발생까지 三晉伏期間이 必要하여 원인 전류가 消失된 후에도 그 先端에 또 다시 간헐적인 진전부위를 나타내게 때문에 것으로 추측된다.

水素誘起破壊의 微示的인 破面様相은 Fig.8 및 Fig.8'에 나타내었다. Fig.8(a)는 水素誘起 低溫균열의 断面 macro組織이며 Fig.8(b)는 macro破面 및 그 소계층을 보이고 있다. 또한 Fig.

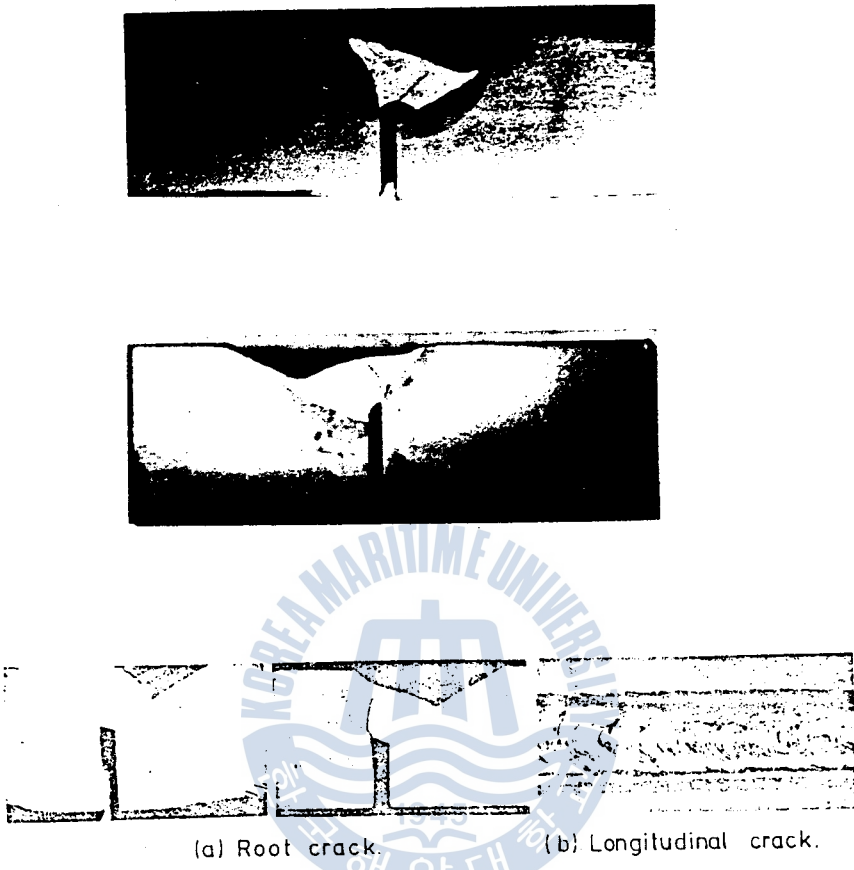


Fig.6 Shape of cold crack.

8'(a)(b)(c)(d)는 Fig 8에서 보인 각 부위의 micro 断面 標相을 보인 것이다.

Fig 8'a 依하면 micro 破面의 거의 全部가 粒内破面이다.一部에서 粒界破面도 보이고 있다. 粒内破面는 바로 水素脆化破面이며, 一部 水素擴散層附近破面도 觀察된다.

이상의結果는 부터 水素誘起破壞는 破壞發生時까지 一定한 潛伏期間이 必要하여 간접적인 進展運動을 보이며 그破面은 대체로 摩擦面과 破面樣相을 갖고 있음을 알 수 있다.

5. 扩散性 水素의 觀察裝置

熔接時 熔接材料 및 熔接環境으로 因해 용접부에混入되는 扩散性 水素를 測定할 目的으로 Fig.9와 같이 水素補集裝置를 제작하였다. JIS 규격에 명시한 길이 130mm, 폭 25mm, 두께 12mm인 水素測定用 試驗片面을 제작하여 熔接時 온도를 측정할 수 있도록 시험면의 중앙에 지름 4mm의 구멍을 뚫어 Thermo couple을 사용할 수 있도록 하였으며 그리세린으로 충전된 냄비에 넣어 45°C에서 48시간 방치한 후 냄비 상부에 補集된 수소를 용접시 흡입되는 확산성 수소량으로 1시간 간격으로 측정하였다. 이러한 扩散性 水素는 0.01cc(까지) 測定하여 이를 다시 용접금속 100g對의 量으로 手算하였다.

6. 熔接條件에 따른 水素運動.

Fig.10은 熔接部의 扩散性 水素 測定時 時間에 따른 水素 扩散變化量을 보인 것이다.

Fig.10측선은 試驗片面及 熔接棒의 緊熱이 없이 熔接을 행한 후 빠르게 急冷하였을 경우 扩散性 水素量의 变化를 나타낸 것이다.

Fig 1-

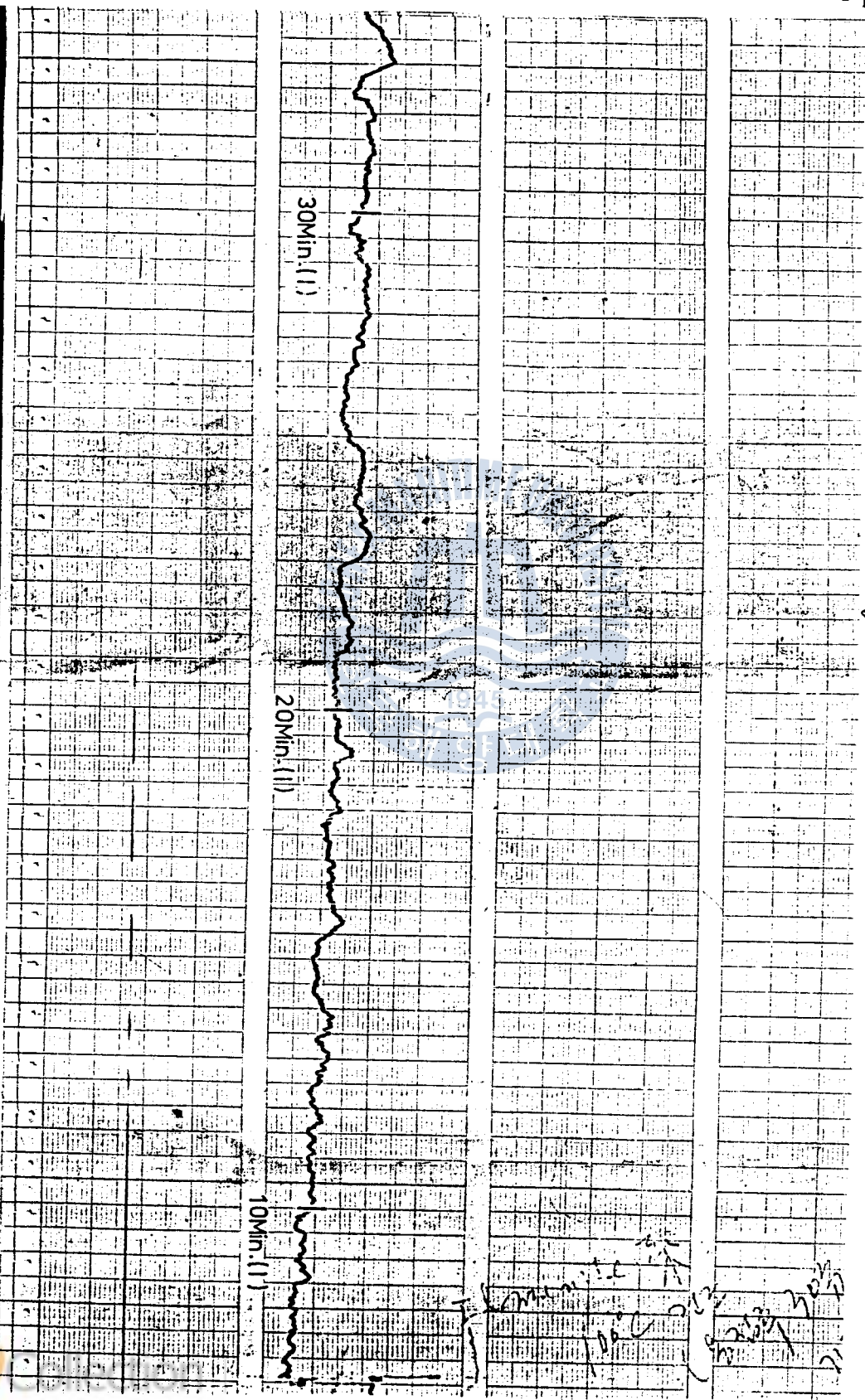
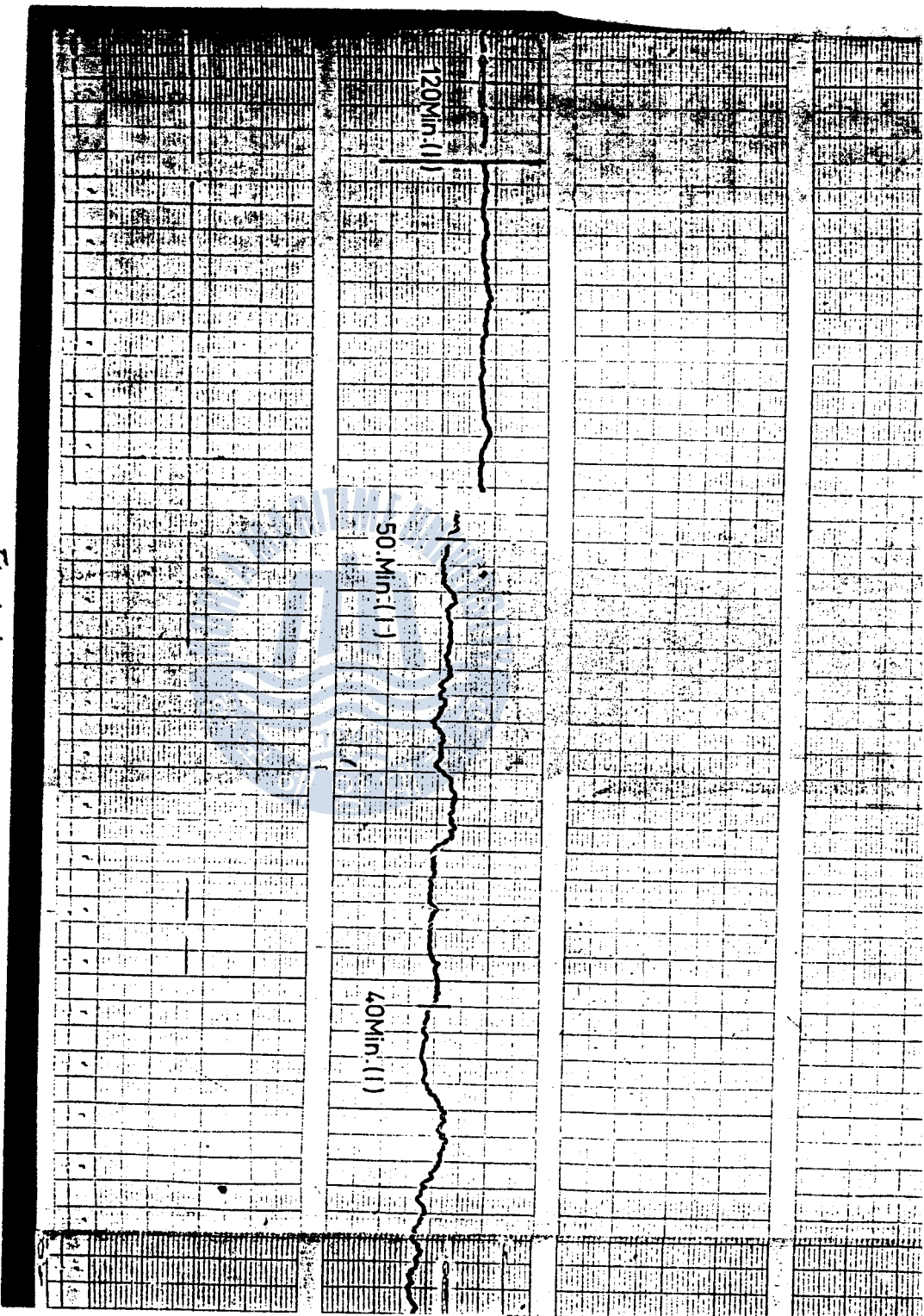


Fig 1-1



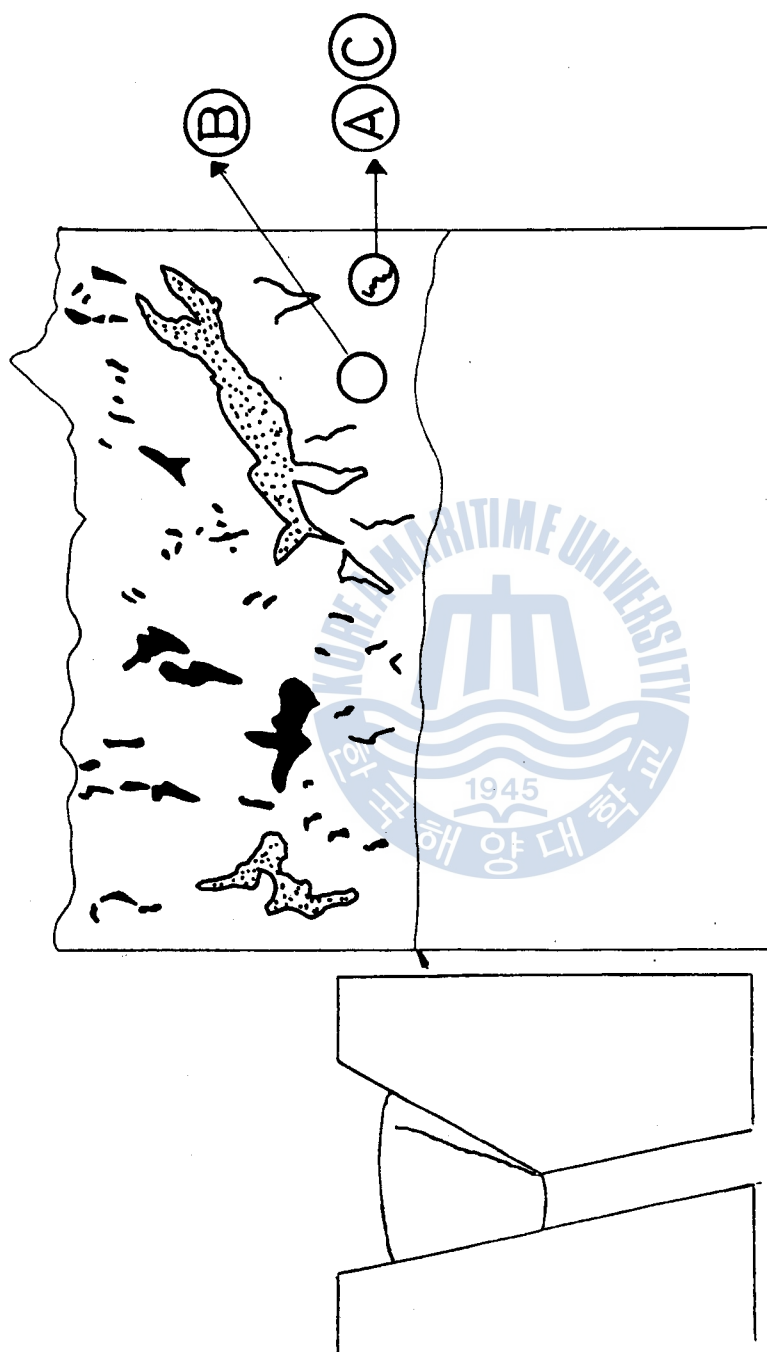


Fig.8(a) 수소유기 세포
Fig.8 (b) Macro 특성의 소재
전형적 단면

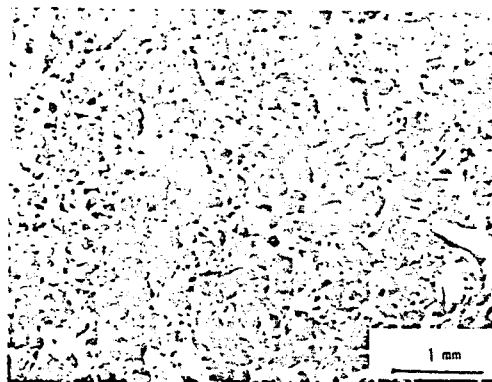


Fig. 8(a) 오염 단면



Fig. 8(b) 수소 외연 단면

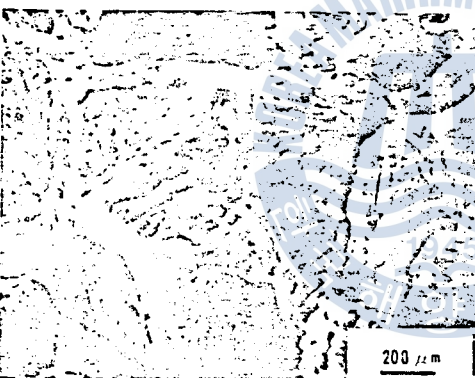


Fig. 8(c) 수소외연에 따른 물질의 침투단면

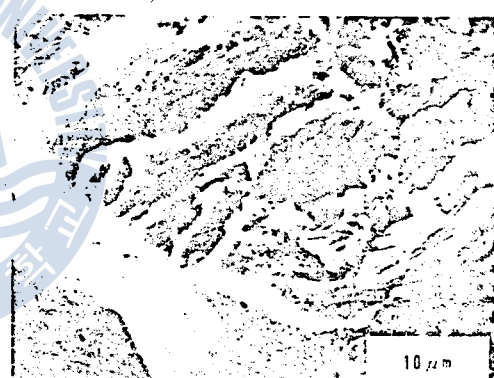


Fig. 8(d) 수소외연에 따른 단면

Fig. 8' 수소 유기파괴의 각 부분의 micro 단면 양상

측선을 試驗片面을 電氣炉에서 300°C 로 練熱하고 即時 熔接을
행한 후 빠르게 急冷하였을 때 扩散性 水素量의 變化를 나타낸 것
이다. 측선을 試驗片面 및 熔接棒을 電氣炉에서 300°C 로 10分間
練熱하고 即時 熔接을 행한 후 大氣中에 5分間 放置한 후 扩
散性 水素量의 變化를 나타낸 것이다.

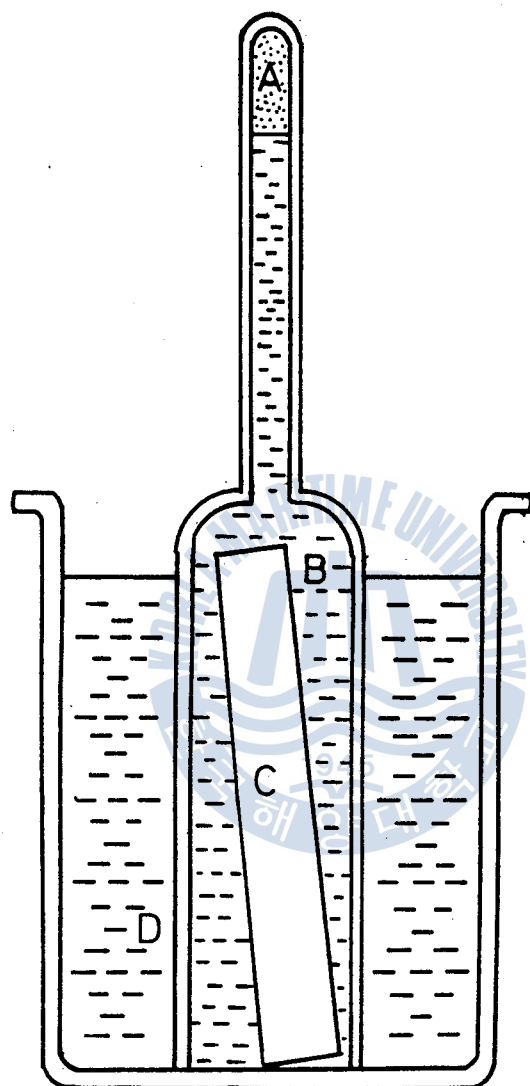


Fig.9 Schematic diagram of hydrogen measuring apparatus.

A:Hydrogen B:D:Glycerin C:Specimen

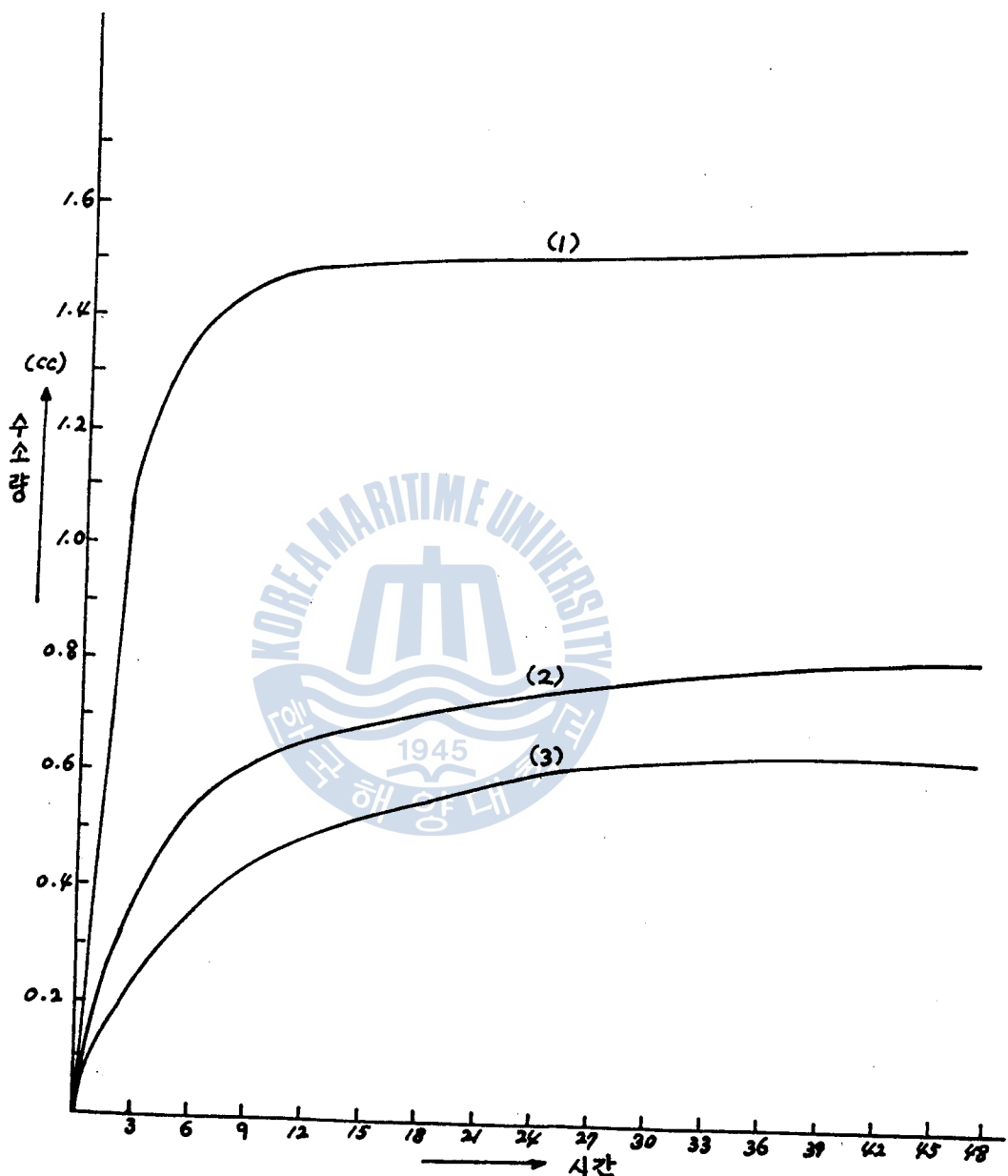


Fig. 10 확산 수소 발생

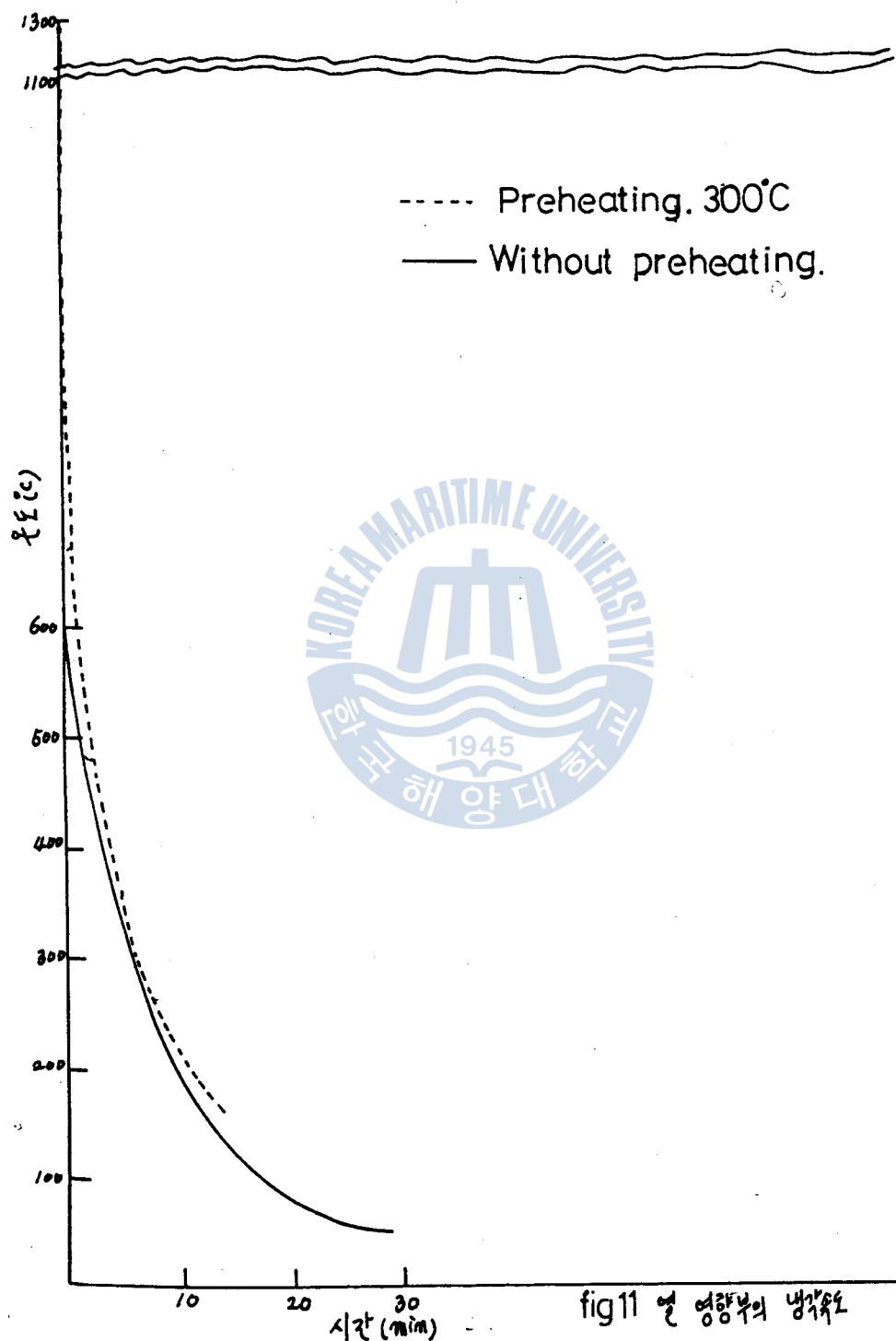


fig 11 『』의 영향에 따른 변화

이에 ~~있~~하면 용접구간과 放置환경에 따라 塗着금속중의 水素量은 크게 영향을 받는다는 것을 알 수 있다. Fig.10에서 측선①, ②, ③은 확산성 수소발생량의 차이가 매우 많다는 것을 알 수 있다. 이것은 水素가 鋼中에 용해하기 위해서는 熱의 흡수가 필요하므로 온도가 상승할 수록 용해가 容易하게 되기 때문이다. 또한 Fig.11은 용접후 냉각속도를 표시한 것으로서 실선은 예를이 없는 경우이며, 파선으로 표시한 것은 대연을 한 경우이다. 그러므로 냉각속도가 완연할 수록 확산성 수소량은 활발하다는 것을 알 수 있다.

7. 結論

이상과 같은 고찰과 実驗을 통한重要な結果를 整理하면 다음과 같다.

- (1) 侵入水素농도가 낮아질수록 파괴까지의 자연시간이 길어지고 그破面의 거의 전부가 裂内破面이며,一部에서 裂界破面도 보이고 있다.
- (2) 예열을 한 경우에는 냉각속도가 느리며 확산성 수소 거동이 활발하다.

參考文獻

- 1) 稲垣, 伊藤, 高張力鋼, 低溫用鋼의 溶接, 產報出版 p.120
- 2) 中山, 松本, 稲垣, 建築鋼構造繼手의 各種溶接方法에의
溶接材에 대한 研究, 溶接學會誌, VOL.45, (1974) NO. 11, p1103
- 3) 萩田, 荒木, 鋼의 水素에 起因한 破壞 및 破壊形態의 分析
VOL. 45, (1976) NO. 12 p.985
- 4) 松井, 溶接欠陥의 発生機構 및 防止對策, 日本學術會議溶接研究
連絡委員會, 溶接 Symposium 資料, (1977) p.1
- 5) 荒木透, 金子秀夫, 三木木貞治, 橋口隆吉, 盛利順, 鉄鋼의 溶接, 1974,
p103
- 6) 荒木透, 金子秀夫, 三木木貞治, 橋口隆吉, 盛利順, 鉄鋼의 溶接, 1974
p106
- 7) 荒木透, 金子秀夫, 三木木貞治, 橋口隆吉, 盛利順, 鉄鋼의 溶接, 1974
p107
- 8) 張雲澤, 鋼 協誌, 1981, p166

